

# МАГНИТНАЯ ПАМЯТЬ МОНОКРИСТАЛЛОВ NaCl С ДИСЛОКАЦИЯМИ

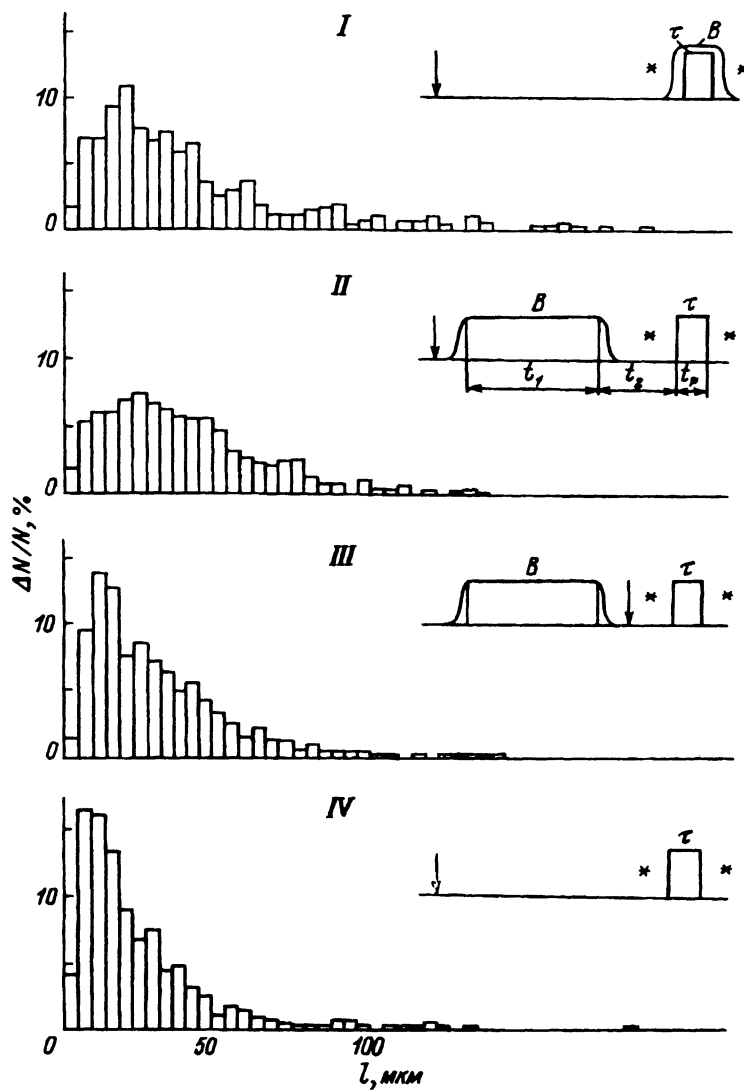
*Ю.И.Головин, Р.Б.Моргунов*

Известен ряд работ, в которых экспериментально исследовалось действие постоянного магнитного поля (МП) на подвижность дислокаций и механические свойства немагнитных кристаллов [1–8]. В основе всех без исключения трактовок наблюдавшихся эффектов лежали представления об изменении характера взаимодействия дислокаций со стопорами под действием поля. В работе предпринята попытка обнаружить действие и последействие относительно слабого постоянного МП (индукция  $B = 1$  Тл) на структуру и свойства самих дислокаций и тормозящих центров в монокристаллах NaCl (концентрация двухвалентных примесей  $\sim 10^{-6}$ ).

Влияние МП на свежевvedенные (от царапины) краевые дислокации исследовали при комнатной температуре, измеряя их пробег  $l$  в поле калиброванного прямоугольного импульса сжатия (амплитуда  $10^5$  Па, длительность  $t_p = 6$  с, фронт 10 мс), воспроизводимого с точностью 2% от опыта к опыту электродинамическим нагружающим устройством. Среднюю величину  $\bar{l}$  определяли двойным избирательным травлением путем усреднения пробегов  $N = 10^2 \div 10^3$  индивидуальных дислокаций. Постоянное МП создавали электромагнитом с однородностью поля  $10^{-3}$  в области расположения образца (размером  $\sim 12 \times 5 \times 3$  мм). Длительность переходных процессов при его включении и отключении составляла  $\sim 2$  с, а стабилизация тока обеспечивала постоянство поля с точностью лучше чем  $10^{-3}$ , так что градиенты МП и вихревые электрические поля были пренебрежимо малы.

В работе проведены опыты I–II типа, отличающиеся последовательностью процедур (см. рисунок). В опытах I типа вводили свежие дислокации и фиксировали их положение первым травлением. Затем образец помещали в электромагнит, включали ток и после установления МП нагружали механическим импульсом. По окончании нагружения выключали МП и травили образец второй раз для определения нового положения дислокаций. В опытах II типа на свежевведенные дислокации действовали в течение 1 ч одним МП. Затем образец травили первый раз и нагружали механически, после чего травили второй раз.<sup>1</sup> Опыты III типа отличались от опытов II типа только тем, что дислокации вводили в кристалл не до, а после обработки МП. Во всех опытах, где кристалл подвергался действию МП, обнаружено увеличение  $\bar{l}$  по сравнению с контрольными опытами (IV типа) без МП (см. таблицу), причем большей величины эффект действия МП достигает в опытах I и II типа и меньшей величины — в опытах III типа. Это соотношение сохранялось после закалки,  $\gamma$ -облучения и обесцвечивания кристаллов светом.

<sup>1</sup> В отличие от [7,8] в наших кристаллах действие МП без приложения механической нагрузки не вызывало смещения дислокаций.



Последовательность процедур и распределения дислокаций по пробегам в опытах разного типа (от I до IV).

Стрелкой обозначен момент введения дислокаций, а звездочкой — момент травления.

Итак, для наблюдения магнитопластического эффекта вовсе не обязательно наличие МП во время нагружения. Предварительная обработка кристалла МП также приводит к увеличению  $\bar{l}$  при последующем смещении дислокаций механическим импульсом. Следовательно, какие-то элементы структуры «запоминают» факт магнитной обработки. Увеличение пробегов дислокаций, введенных после действия МП, свидетельствует о том, что этими элементами могут быть локальные стопоры.

Еще более существенным и интересным представляется факт дополнительного увеличения подвижности дислокаций, если их вводить до обра-

Влияние постоянного магнитного поля  $B=1$  Тл на подвижность дислокаций в монокристаллах в опытах разного типа

Тип опыта	Характер предварительной обработки образца	Количество измеренных пробегов индивидуальных дислокаций N	Средний пробег дислокаций $\bar{l}$ , мкм	Наиболее вероятный пробег дислокаций в одном активационном скачке $l_p$ , мкм	Среднее количество активационных скачков за время нагружения n	Время ожидания активационного скачка $\tau_a$ , с	
I	$\gamma$ -Облучение (доза $10^6$ рад)	507	$40.4 \pm 3$	20.6	19.8	1.04	5.8
	То же	1071	$45 \pm 2$	24.5	20.5	1.2	5.0
II а	$\leftarrow - \rightarrow$	565	$46.9 \pm 3$	24.5	22.4	1.09	5.5
	$\leftarrow - \rightarrow$	292	$39.2 \pm 4$	15.5	23.7	0.66	9.1
III	$\leftarrow - \rightarrow$	733	$31.5 \pm 2$	11	20.5	0.54	11.0
	$\leftarrow - \rightarrow$	1033	$23.2 \pm 2$	11.6	11.6	1.0	6.0
IV	Закалка от 600 К	70	$37 \pm 6$				
	То же	92	$25 \pm 3$				
II	$\gamma$ -Облучение (доза $10^6$ рад), обеспечение светом	94	$47 \pm 7$				
	То же	80	$31 \pm 5$				

ботки кристалла МП (опыты II типа). Различие между  $l$  в опытах II и III типа однозначно свидетельствует о том, что дислокации «запоминают» воздействие МП. Подобный эффект наблюдался в [9] при предварительной обработке кристаллов NaCl электрическим полем. Разница между  $l$  в опытах II и III типа нарастала при увеличении длительности импульса МП  $t_1$  от 0 до  $3 \cdot 10^3$  с, а при дальнейшем росте  $t_1$  оставалась неизменной. Последействие МП наблюдалось в течение десятков минут, однако при паузах между импульсами МП и нагрузки  $t_2 \gtrsim 10^3$  с эффект ослабевал. Пробеги дислокаций на разных гранях одного и того же кристалла и движущихся в разных направлениях, т.е. характеризующихся различными углами между вектором  $\mathbf{B}$  и вектором Бюргерса  $\mathbf{b}$  ( $45, 90, 135, -45, -90, -135^\circ$ ), а также между вектором  $\mathbf{B}$  и дислокационной линией ( $0, 90^\circ$ ), различались мало (см. таблицу).

Анализ распределений дислокаций по пробегам по методике, предложенной Аргоном [10], показал (см. таблицу и рисунок), что, кроме  $l$ , МП увеличивает среднюю величину скачков дислокаций  $\Delta l = \bar{l} - l_p$  практически вдвое для всех типов опытов с МП (здесь  $l_p$  — наиболее вероятная величина  $l$ ). Одновременно для некоторых сочетаний экспериментальных условий наблюдалось увеличение времени активации таких скачков  $\tau_a = t_p/\Delta l$  в 1.5–2 раза. Таким образом, в кристалле имеются как минимум две разновидности стопоров и МП по-разному действует на чувствительность дислокаций к ним: понижает ее по отношению к одним (что сопровождается ростом  $\Delta l$ ), одновременно повышая ее по отношению к другим (что вызывает рост  $\tau_a$ ).

Микромеханизмы обнаруженных явлений магнитной памяти в диамагнитном кристалле нуждаются в специальном исследовании. Однако большие времена, необходимые для проявления и релаксации этих эффектов ( $\sim 10^3$  с), нечувствительность к наличию F-центров могут указывать на то, что МП меняет не электронную, а атомную структуру ядра дислокации и локальных стопоров, например конфигурацию дислокационной линии, концентрацию и высоту ступенек и перегибов на ней, а также состояние точечных дефектов.

### Список литературы

- [1] Старцев В.И., Ильичев В.Я., Пустовалов В.В. Пластичность и прочность металлов и сплавов при низких температурах. М., 1975. 328 с.
- [2] Кишкун С.Т., Клыгин А.А. // ДАН СССР. 1973. Т. 211. № 2. С. 325–327.
- [3] Ossyryan Yu.A., Bobrov V.S. // Crystal Research and Technol. 1984. V. 19. N 6. P. 827–838.
- [4] Galligan J.M. // Cryst. Res. and Technol. 1984. V. 19. N 6. P. 839–843.
- [5] Pavlov V.A., Pereturina I.A., Pecherkina I.L. // Phys. Stat. Sol (a). 1980. V. 57. N 2. P. 449–459.
- [6] Лебедев В.П., Крыловский В.С. // ФММ. 1984. Т. 58. № 4. С. 827–829.
- [7] Альшиц В.И., Даринская Е.В., Петржик Е.А. // ФТТ. 1991. Т. 33. № 10. С. 3001–3010.
- [8] Альшиц В.И., Даринская Е.В., Петржик Е.А. // ФТТ. 1992. Т. 34. № 1. С. 155–158.
- [9] Сергеев В.П., Зуев Л.Б. // ФТТ. 1980. Т. 22. № 6. С. 1766–1780.
- [10] Argon A.S. // Phil. Mag. 1972. V. 25. N 5. P. 1053–1072.

Тамбовский государственный  
педагогический институт

Поступило в Редакцию  
20 апреля 1993 г.